

การประชุมวิชาการเครือข่ายวิศวกรรมเครื่องกลแห่งประเทศไทยครั้งที่ 14  
2-3 พฤศจิกายน 2543 โรงแรม โนโวเทล เชียงใหม่

## พฤติกรรมทางพลศาสตร์ของสะพานขึ้งพระรามเก้า

### Dynamic Behavior of RAMA IX Cable-Stayed Bridge

เสนีย์ ศิริไชย ชิต เหล่าวัฒนา และ บรรพต วนากิริสวัสดิ์

ศูนย์ปฏิบัติการพัฒนาหุ่นยนต์ภาคสนาม(พีโน้) มหาวิทยาลัยเทคโนโลยีพระจอมเกล้าชลบุรี

91 สุขสวัสดิ์ 48 แขวงบางมด เขตทุ่งครุ กรุงเทพฯ 10140

โทร 02-470-9339, 02-470-9129 โทรสาร 02-470-9111, E-Mail : s1400128@cc.kmutt.ac.th

Seney Sirichai, Djitt Laowattana and Bunpoth Vanasirisawut

Center of Operation for Field roBOTics Development (FIBO), King Mongkut's University of Technology Thonburi

91 Suksawasd 48 Bangmod Bangkok 10140 Thailand

Tel : 662-470-9339, 662-470-9129 Fax : 662-470-9111

#### บทคัดย่อ

สะพานพระรามเก้าเป็นสะพานขึ้งแบบระนาบเดียว (Single Plane Fan Type) มีช่วงหอดตัวกลางสะพาน (Main Span) 450 เมตร สะพานได้รับภาระหลายอย่าง อาทิ เช่น จาก รถยกที่แล่นผ่านและแรงลม เป็นต้น แบบจำลองสามมิติ ของสะพานได้ถูกใช้ในการวิเคราะห์หาค่าความถี่ธรรมชาติ รวมทั้งขนาดของการสั่นสะเทือนจากการต่างๆ เสา(Pylon) และ ตอม่อ(Pier) ถูกจำลองด้วยเอเลเมนต์คาน(Beam Element) ส่วนตัวแท่น(Bridge Deck) จำลองด้วยเอเลเมนต์ เชลล์ ทรัสส์ และคาน เพื่อเพิ่มความแม่นยำของโครงสร้าง สะพานให้ใกล้เคียงกับคุณสมบัติของโครงสร้างจริง สาย เคเบิล(Cable) จำลองด้วยเอเลเมนต์ทรัสส์(Truss Element) ในการวิเคราะห์นี้จะอ้างอิงข้อมูลของอุปกรณ์วัดการสั่นสะเทือน(Accelerometer) จากระบบตรวจสอบ(Monitoring System) ที่ติดตั้งเอาไว้แล้วที่การทางพิเศษแห่งประเทศไทย ซึ่งผลจากการวิเคราะห์พฤติกรรมทางพลศาสตร์ของข้อมูลที่ได้นั้นจะถูกนำมาเทียบเคียงกับผลจากแบบจำลองไฟ劲ท์เอ ลเเมเนต์ โดยผลซึ่ได้เห็นว่าแบบจำลองสามารถใช้ในการหาค่าความถี่ธรรมชาติและการเกิดการผิดรูปของสะพาน

#### Abstract

The RAMA IX Bridge is a Single Plane Fan type of Cable-Stayed Bridge. Its main span is 450 meters. The

bridge experiences several load excitations such as traffic induces and wind loads. A 3-D model has been used in order to analyse the natural frequency as well as vibrational amplitude resulting from practical loads. The girders of bridge deck are comprised of beam, shell and truss element in order to improve its stiffness properties with respect to the real bridge structure. The pylons and stayed cables are represented by beam and truss elements respectively. Our analysis is based on the data from accelerometers in a monitoring system, installed at the Expressway and Rapid Transit Authority of Thailand (ETA). The analytical results regarding dynamic behavior were thoroughly compared with computational outputs from our finite element model. The comparison indicates that model could be effectively used to determine natural frequency and critical deformation of the bridge.

#### 1. บทนำ

สะพานพระรามเก้าเป็นสะพานขึ้งแห่งแรกและแห่งเดียว ในประเทศไทย รวมทั้งยังได้ทำลายสถิติสะพานที่มีช่วงหอด ตัวระหว่างเสาขึ้งสองตันที่ยาวที่สุด ด้วยความยาวมากกว่า 750 เมตร สะพานขึ้งพระรามเก้านับเป็นการผนวกเทคโนโลยี

ทางด้านวิศวกรรมและสถาปัตยกรรมเพื่อให้ได้โครงสร้างที่สวยงามและทันสมัย สำหรับสะพานที่ใช้เคเบิลในการช่วยรับน้ำหนักของตัวโครงสร้างสะพานนั้นได้มีการก่อสร้างขึ้นมาแล้วหลายที่ในโลก ซึ่งต่างก็แบ่งแยกไปได้หลายประเภททั้งตามลักษณะโครงสร้างการวางตัวของเคเบิลเป็นต้น ประเภทใหญ่ๆ ที่แบ่งนั้นมี สะพานแขวน(Suspension Bridge) และ สะพานขึง(Cable-Stayed Bridge) โดยสะพานพระรามเก้า จัดอยู่ในประเภทของสะพานขึง นอกเหนือไปในประเภทของสะพานขึงเองสามารถแยกได้เป็นแบบเสาเดี่ยว เช่นสะพานพระรามเก้า หรือแบบเสาคู่ อีกทั้งรูปแบบโครงสร้างที่สามารถยึดหยุ่นไปได้ตามแนวความคิดของนักออกแบบเพื่อให้เกิดรูปทรงที่ดูเปลกและสวยงาม ประกอบกับการก่อสร้างที่มีราคาแพง การบำรุงรักษาและหาจุดที่ต้องแก้ไขเพื่อให้การใช้งานทนทานและยาวนานจึงเป็นสิ่งที่จำเป็น สะพานขึงพระรามเก้าได้เชื่อมกับสะพานของกรุงเทพฯ ที่มีแนวโน้มของรยกันเพิ่มมากขึ้นทุกวันทั้งการจราจรที่ติดขัดบนตัวสะพาน . แรงลมที่พัดผ่านสะพาน ล้วนแล้วแต่เป็นสาเหตุที่ก่อให้เกิดการสั่นไหวของสะพานทั้งสิ้น สภาพของภูมิอากาศที่ร้อนของประเทศไทยยังเป็นสาเหตุหนึ่งที่ทำให้ผู้คนเกิดความเสียหายก่อนเวลาอันควร ทำให้ผู้คนเกิดการปูด ขรุขระ หรือเป็นหลุม โดยขณะที่يانพาหนะแล่นผ่านถนนยังทำให้เกิดการสั่นสะเทือนของสะพานได้เช่นกัน การที่สะพานต้องเชื่อมกับสะพานแผลล้อมแบบนี้บ่อยครั้งทำให้โครงสร้างย่อมเกิดความเสื่อมโทรมและชำรุดได้ ทั้งการคลอนตัวของน้อตและจุดยึดต่างๆ อาจเกิดปัญหา

ในงานวิจัยนี้เป็นการสร้างแบบจำลองของสะพานด้วยวิธีไฟฟ้าในท่อเอเลเมนต์และต้องใส่ค่าคุณสมบัติต่างๆ ของสะพาน และวัสดุที่ใช้เพื่อให้เกิดความใกล้เคียงให้มากที่สุด จากนั้นจะทำการแบ่งเอเลเมนต์เพื่อการคำนวณ สิ่งที่ต้องทำคือการปรับเทียบแบบจำลองให้พร้อมและถูกต้องในการใช้งาน จากนั้นการเทียบเคียงผลการทดลองที่ได้มาจากการอุปกรณ์การตรวจจับของสะพานที่การทางพิเศษมีอยุ่นนี้เป็นตัวช่วยยืนยันความถูกต้องของแบบจำลองไฟฟ้าในท่อเอเลเมนต์ เพื่อใช้คำนวณหาค่าความเค้น ภาระต่างๆ ทั้งจากอุณหภูมิ รถยนต์ ต่อไป ในแขนงของการทำงานวิจัยแบบนี้นั้นได้มีนักวิจัยทั่วโลกหลายคนที่ได้เคยทำมาแล้วดังนี้

John C.Wilson และ Tao Liu [1] แห่งมหาวิทยาลัย Mc.Master เมืองออนตาริโอ ประเทศแคนาดา ได้ทำการ

วิเคราะห์พลศาสตร์ของสะพาน Quincy Bayview ในเมืองยิลลินอยย์ สหรัฐอเมริกา เอกสารงานวิจัยนี้ได้ถูกตีพิมพ์ในปี 1991 พอกเขาได้เก็บผลการทดลองจากการสั่นสะเทือนของสะพานจากแรงกระทำภายนอกทั่วไปอันได้แก่รยกันต์และลม เป็นต้น ซึ่งการทดสอบนี้เรียกว่า Ambient Vibration และใช้ทฤษฎีการวิเคราะห์ด้วยสเปกตรัม(Spectral Analysis) เพื่อหาค่าพารามิเตอร์จากการสั่นสะเทือนแบบสุ่มจากการทดลองด้วยอุปกรณ์วัดการสั่นสะเทือน(Accelerometer) หมอดรูปร่างการสั่นสะเทือน ค่าความถี่ของแต่ละ荷ดการสั่นสะเทือนพบได้จากค่าสูงสุดที่แกนความถี่ จากการวิเคราะห์ค่า Coherence นั้นใช้เพื่อประเมินค่าความเป็นเชิงเส้นของโครงสร้างที่สั่นสะเทือนว่ามีมากน้อยเพียงใดสำหรับการวิเคราะห์ที่ใช้หลักการแบบเชิงเส้นมาวิเคราะห์ โดยหลักการแล้วค่าของ Coherence ที่มีค่าใกล้เคียง 1 มากเท่าได้ยิ่งแสดงถึงคุณสมบัติที่เป็นเชิงเส้นมากขึ้นเท่านั้น

ในรายงานวิจัยชุดหนึ่งที่นำเสนอพร้อมกันโดย John C. Wilson และ Wayne Gravelle [2] แห่งมหาวิทยาลัยเดียวกันได้กล่าวถึงการสร้างแบบจำลองของสะพานโดยวิธีไฟฟ้าในท่อเอเลเมนต์สามมิติ วิเคราะห์โดยใช้หลักการแบบเชิงเส้น(Linear Analysis) ในเนื้อหาได้มีการแนะนำหลักการปรับเทียบแบบจำลองโดยการนำค่าสติฟเนสในแนวตั้ง แนวแกน แนวไขว้ (ในแนวแกน Z) และแนวการบิดของตัวสะพาน สำหรับอุเอเมนต์ที่ใช้ในการวิเคราะห์นั้น ในส่วนของเสาและแท่นของสะพาน(Deck)ใช้อุเอเมนต์คาน เคเบิลใช้อุเอเมนต์ของ Truss ในการคำนวณ

Ahmed M.Abdel-Ghaffar และ Robert H. Scanlan [3], [4] แห่ง มหาวิทยาลัย Princeton ได้วิจัยพลศาสตร์ของสะพานโกลเดนเกก ประเทศสหรัฐอเมริกา งานแบ่งเป็น 2 ส่วน คือส่วนของโครงสร้างแขวน(Suspended Structure) และโครงสร้างของตอม่อ กับเสาบี้ดเคเบิล(Pier-Tower Structure) ในส่วนของความถี่ของโครงสร้างแขวนที่ทดสอบนั้นมีค่าอยู่ระหว่าง 0-1.5 Hz ขณะที่โครงสร้างของตอม่อ กับเสาบี้ดเคเบิล มีค่าความถี่อยู่ระหว่าง 0-5 Hz. ค่าที่ทำการทดสอบถูกเปรียบเทียบกับผลที่คำนวณได้จากแบบจำลองไฟฟ้าในท่อเอเลเมนต์สามมิติ ค่าอัตราส่วนแผลมีความสามารถให้จากการทดลองวัดการสั่นสะเทือนจริงของสะพาน จากผลปรากฏว่า ค่าที่ได้จากแบบจำลองและการทดสอบมีค่าใกล้เคียงกันมาก

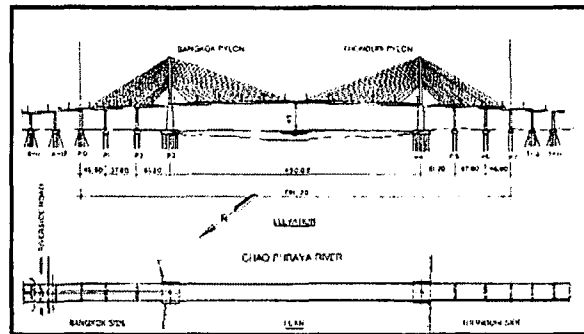
เอกสารวิทยานิพนธ์ของนักศึกษาจากสถาบันเทคโนโลยีแห่งเอเชีย(Asian Institute of Technology) ปี 1989 [5]

แสดงผลวิจัยการสั่นสะเทือนของสะพานอันเนื่องมาจากการ  
นำรูประของผู้วิวนน และหาประสิทธิผลของอุปกรณ์ลดการสั่น  
สะเทือนที่ใช้คือ Tune Mass Damper ซึ่งมีทั้งแบบชนิดรับ<sup>แรงดัดและบิด</sup> โดยวิเคราะห์เทียบเคียงกับแบบจำลองไฟ  
ในท่อเอลเม็นต์สองมิติขึ้นซึ่งใช้ เอลเม็นต์Truss ประจำล่อง  
เป็นเครเบิลและเอลเม็นต์คานสำหรับเสา แท่นสะพาน และต่อ<sup>ม่อ</sup>  
พร้อมกับได้มีการจำลองโหลดที่กระทำกับสะพานและ  
จำลองความหมายของผู้วิวนนขึ้นมา การทดสอบผลของ  
สะพานที่มี Tuned Mass Damper (TMD) ที่ได้ตั้งค่าความถี่  
ไป 0.325 Hz (ความถี่ธรรมชาติแรกของสะพาน) จากผลที่ได้  
พบว่า TMD สามารถลดความสั่นสะเทือนของเครเบิลที่อยู่ใกล้  
กับกึ่งกลางสะพานของช่วงทอตสะพานได้ ซึ่งได้แนะนำว่า  
ควรทำการติดตั้งแแม่เบอร์ที่สายเครเบิลทุกเส้น(ในปัจจุบันได้  
ติดตั้งแล้ว) และควรตั้งความถี่ธรรมชาติของตัวไปที่荷载ที่ 5  
แทน

เอกสารในปี 1996 เสนอด้วย C. Gentile และ F. Martinez Y Cabrera [6] ได้ทดสอบสะพานปีงที่ผ่านการซ่อม<sup>แซม</sup>ของเครเบิลแบบเหล็กหล่ออัดคอนกรีตโดยการเพิ่มเติม<sup>เครเบิลเส้นเล็กไว้ที่รอนอก</sup> สำหรับสะพานที่ทำการวิจัยนั้น<sup>คือ Polvevera Creek Viaduct เมืองเจนัว ประเทศอิตาลี</sup> โดยได้เก็บผลจากการยนต์ที่แผ่นผ่านสะพาน พร้อมทั้งสร้าง<sup>แบบจำลองไฟ</sup>ในท่อเอลเม็นต์สองมิติ และสามมิติ ขึ้นมาเพื่อ<sup>เทียบเคียงกับผลที่ได้จากการตรวจ ส่วนใหญ่ของความถี่</sup> ที่ได้มา<sup>นั้นอยู่ระหว่าง 0-10 Hz</sup> ค่าพารามิเตอร์ที่ได้จากแบบ<sup>จำลอง 2 มิติ กับ 3 มิติ</sup> พบร่วมกับความใกล้เคียงกัน รวมทั้งยัง<sup>มีความใกล้เคียงกับค่าจากการทดลอง ดังนั้นจึงสามารถนำไป</sup> แบบจำลองดังกล่าวไปวิเคราะห์รูปร่างของการสั่นสะเทือนที่<sup>荷载ต่างๆได้ต่อไป</sup>

## 2. ลักษณะทั่วไปของสะพาน

สะพานนี้งพระราม 9 เป็นสะพานที่เชื่อมการจราจร<sup>ระหว่างฝั่งธนบุรีและกรุงเทพมหานคร</sup> ข้ามแม่น้ำเจ้าพระยา<sup>ดังแสดงในรูปที่ 1</sup> เป็นสะพานนี้ชนิดระนาบเดียว(Single Plane Fan Type) คือมีเสาขึ้นอยู่ด้านละหนึ่งตันและใช้สาย<sup>เครเบิลในการเหนี่ยวรั้งโครงสร้างของสะพานเอาไว้ การออกแบบ</sup> ได้ยึดตามมาตรฐานของเยอรมัน (DIN) ซึ่งรายละเอียด<sup>ของวัสดุและการออกแบบต่างๆสามารถหาดูได้จากเอกสาร</sup> อ้างอิง [7] หรือที่การทางพิเศษแห่งประเทศไทย ศูนย์ซ่อม<sup>บำรุงสากลประดิษฐ์</sup>



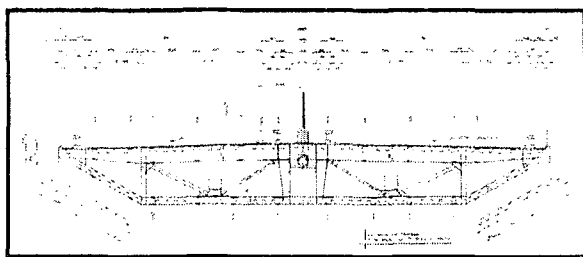
รูปที่ 1 ภาพของสะพานนี้งพระรามเก้าที่เชื่อมระหว่างฝั่งธนบุรีและกรุงเทพฯ

สะพานมีความยาวของช่วงทอตัวกลางสะพาน (Main Span) เป็น 450 เมตร และช่วงทอตัวท้ายสะพาน (Back Span) ระยะห่างของตอม่อจากตอม่อของเสาขึ้นคือ 61.2 57.6 และ 46.8 เมตรตามลำดับ เป็นด้านละ 165.6 เมตร รวมระยะทางทั้งสิ้น 781.2 เมตร ส่วนระยะนอกเหนือจากนี้ เป็นช่วงของเชิงลาดสะพานเราจะไม่นำมาพิจารณาในการสร้างแบบจำลอง จากรายละเอียดของโครงสร้างในส่วนต่างๆ เช่นลักษณะโครงสร้างของหน้าตัดแท่นสะพาน พื้นที่หน้าตัดของสายเครเบิล ขนาดของเสาขึ้น เป็นต้น อันเป็นจุดหลักๆ ของโครงสร้างที่จะใช้ในการสร้างแบบจำลองต่อไป ซึ่งพอจะกล่าวได้ดังต่อไปนี้

### 2.1 โครงสร้างเหนือผิวดิน (Superstructure)

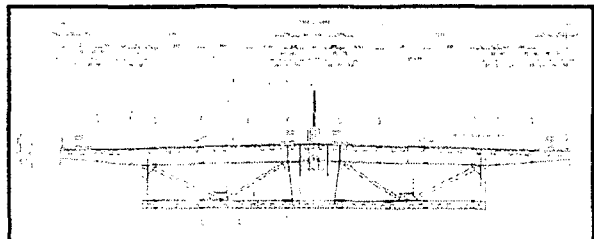
จุดหลักๆ นั้นจะประกอบไปด้วยเกอเดอร์(Girder) ตรงส่วนกลางสะพานและท้ายสะพาน เสาขึ้น(Pylon) และเครเบิล(Cable) โครงสร้างดังกล่าวเป็นส่วนประกอบที่จะทำแบบจำลองในการวิเคราะห์สะพาน

Girder สำหรับเกอเดอร์จะมีความกว้างอยู่ระหว่าง 31-33 เมตร สูง 4 เมตร มีหน้าตัดรูปทรงสี่เหลี่ยมคงหมุน ภายในกลวงเพื่อลดน้ำหนักของโครงสร้าง ตรงส่วนบริเวณช่วงทอตัวกลางสะพานนี้จะออกแบบตามหลักพลศาสตร์เพื่อเพิ่มความสมดุลย์ต่อแรงลม โดยที่พื้นที่ด้านข้างของเกอเดอร์จะเอียงตามลักษณะดังแสดงในรูปที่ 2 ความยาวของแต่ละเกอเดอร์นั้นจะไม่เท่ากัน ซึ่งขึ้นอยู่กับแต่ละช่วงของแท่นสะพาน แท่นสะพานประกอบไปด้วยเกอเดอร์หลักอันมาก ประกอบกันจากการประกอบเกอเดอร์ในแต่ละฝั่งของสะพาน เป็นลักษณะของแคนทิลเลอร์(Cantilever) จักระทั้งสะพาน กั้งสองฝั่งมารูบกัน โดยมีความลาดเท่ากัน 5 %



รูปที่ 2 แสดงเกอเดอร์ที่บีริเวนช่วงกลางสะพาน(Main Span)

ช่วงหลังสะพานจะเป็นลักษณะหน้าตัดดังแสดงในรูปที่ 3 ช่วงหลังสะพานจะมีรูปทรงที่แตกต่างไปจากช่วงกลางสะพาน เนื่องจากช่วงกลางสะพานเป็นจุดที่ต้องคำนึงถึงการสั่นสะเทือนมากกว่าส่วนอื่น ทั้งจากแรงลม แรงน้ำ เป็นต้น ในส่วนหลังสะพานนี้ยังมีจุดรองรับต่างๆ เช่น ตอนม่อและสายเคเบิลที่ช่วยพยุงโครงสร้างไว้ให้คงอยู่ ส่วนช่วงกลางสะพาน จะมีจุดที่พยุงอยู่คือสายเคเบิลและการยึดกันระหว่างแต่ละตัวเกอเดอร์



รูปที่ 3 แสดงเกอเดอร์ที่บีริเวนช่วงหลังสะพาน(Back Span)

จากจำนวนลือดของเกอเดอร์และจุดต่อระหว่างแท่นสะพาน กับสายเคเบิลจะเป็นส่วนหนึ่งที่นำไปพิจารณาการแบ่งเอลเมนต์ของแบบแปลงสะพานต่อไป

*Cable* มีอยู่ทั้งสิ้น 68 เส้น 4 จุด จุดละ 17 เส้น มีเส้นผ่าศูนย์กลางระหว่าง 119 มิลลิเมตร ถึง 167 มิลลิเมตร ปลายด้านหนึ่งยึดกับเสาชี้ส่วนอีกด้านจะพยุงตัวแท่นสะพานเอาไว้ดังรูปที่ 1

*Pylon* มีทั้งสิ้นสองตัน มีความสูงจากแท่นสะพาน 78 เมตร มีทรงเรียบ(Taper)จากฐานไปยังยอดเสา ที่ตำแหน่งฐานของเสาจะยึดอยู่กับตอม่อของสะพาน เสาทำหน้าที่เป็นตัวรับแรงแท่นสะพานเอาไว้ด้วยสายเคเบิล ลักษณะของเสาชี้ เป็นบล็อกหลายๆ อันมาประกอบกันไปจนถึงยอด ภายใต้เสา

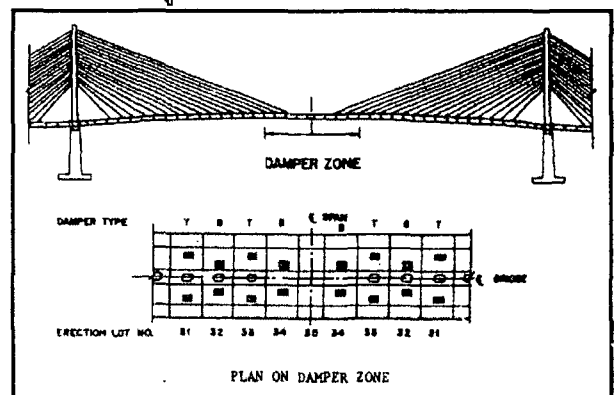
ขึ้นจะกล่าวพร้อมกับมีลิฟท์ เพื่อการเข้าไปบำรุงรักษาและดูแลโครงสร้างได้

ที่จุดรองรับระหว่างตัวสะพานกับตอม่อ มีตัวแบรร์ริง (Bearing) ที่ทำหน้าที่ควบคุมทิศทางการเคลื่อนตัวของสะพานให้อยู่ในแนวตามยาวเท่านั้น โดยป้องกันไม่ให้เกิดการเคลื่อนที่ในแนวตั้งหรือแนวอื่นๆ

## 2.2 อุปกรณ์ลดการสั่นสะเทือน (Vibration Absorber)

การลดการสั่นสะเทือนเนื่องมาจากภาระภายนอกที่กระทำต่อโครงสร้างสะพานพระรามเก้านั้นมีการติดตั้งอยู่หลายจุดด้วยกัน คือบริเวณช่วงกลางสะพาน ยอดเสาชี้แต่ละตัน และที่บีริเวนจุดยึดสายเคเบิล ซึ่งจะกล่าวถึงโดยสังเขปดังต่อไปนี้

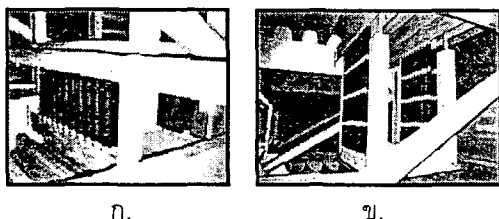
*Tuned Mass Damper* ติดตั้งที่ตำแหน่งช่วงกลางของสะพานดังในรูปที่ 4. ประกอบไปด้วยเดมเปอร์ที่รับแรงบิด (Torsion Mode Damper) และรับแรงดัด (Bending Mode Damper) เดมเปอร์จะติดอยู่ทั้ง 2 ฝั่งของสะพานสลับกันระหว่างเดมเปอร์ที่รับแรงดัดและบิดโดยจุดที่สั่นไหวมากที่สุดคือที่ตำแหน่งช่วงกลางสะพาน สำหรับตัวที่รับภาระการบิดตัวจะอยู่ที่ด้านนอกของเกอเดอร์ (Girder) ส่วนตัวที่รับภาระดัดจะติดอยู่ด้านใน Girder โดยวางสลับกันไป



รูปที่ 4 ตำแหน่งเดมเปอร์ที่ติดตั้งบริเวณกลางสะพาน

สำหรับปัจจุบันนี้เดมเปอร์ได้ถูกตั้งความถี่ของตัวมันไปที่ความถี่ใหม่แรกของสะพานเพื่อป้องกันการตอบสนองของการสั่นสะเทือนที่อาจจะเกิดขึ้นได้มากเมื่อต้องเผชิญกับภาระจากภายนอกที่มาตรงกับใหม่แรกของสะพาน อันจะทำให้เกิดการตอบสนองที่เป็นอนันต์ได้สำหรับส่วนประกอบของเดมเปอร์นั้นจะประกอบไปด้วย สปริง มวลที่ติดตั้งไว้ และเดมป์ที่เคลื่อนที่ในระบบอย่างมั่นเพื่อคัดซับการสั่นสะเทือน

ในรูปที่ 5ก. และ 5ข. แสดงภาพของ Bending และ Torsion Damper ตามลำดับ



ก. ข.

รูปที่ 5 แสดงชนิดของడัมเปอร์แบบรับแรงบิดและรับแรงตัวดัน

*Pylon Damper* เป็นอุปกรณ์ที่สำหรับลดการสั่นสะเทือนของเสา(Pylon) โดยตำแหน่งติดตั้งจะอยู่ที่ยอดเสา แต่ละต้น มันจะเคลื่อนที่ในลักษณะของ Inverted Pendulum เพื่อลดการแข็งว่างตัวของเสาที่ใช้เป็นจุดยึดสายเคเบิลของสะพาน โดยรูปที่ 6ก. ได้แสดงให้เห็นตำแหน่งการติดตั้งของడัมเปอร์



ก. ข.

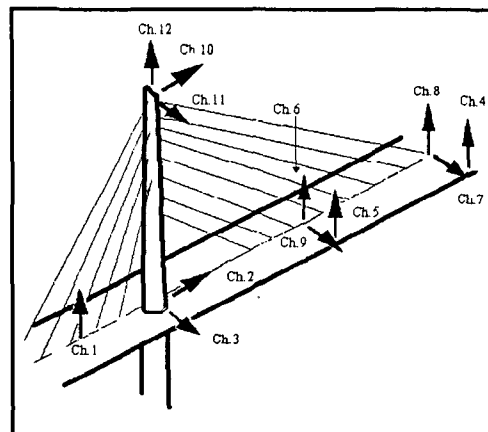
รูปที่ 6 แสดงడัมเปอร์ของเสาและของเคเบิลตามลำดับ

*Cable Damper* จะมีรูปร่างดังที่ปรากฏในรูปที่ 6ข. โดยตำแหน่งการติดตั้งนั้นจะอยู่ที่บริเวณจุดยึดตอนปลายของแต่ละสายเคเบิลของสะพานเพื่อลดการสั่นของเคเบิล ลักษณะของడัมเปอร์นั้นเป็นโครงสร้างคล้ายตัววี การทำงานคล้ายกับโซ๊คอพของรถยนต์โดยจะยืดและยุบเมื่อการสั่นเกิดขึ้น

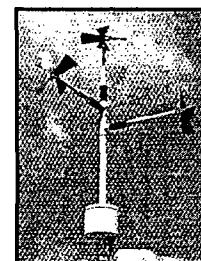
### 3. อุปกรณ์ตรวจจับและวัดการสั่นสะเทือนของสะพาน

การตรวจจับค่าการสั่นสะเทือนของสะพานหรือความเร็วลม สามารถทำได้โดยการนำข้อมูลจากระบบตรวจจับ (Monitoring System) ของการทางพิเศษฯ. ศูนย์ซ่อมบำรุง สาขาประดิษฐ์มำใช้ในการวิเคราะห์ความคุ้นเคยกับแบบจำลองไฟ ในท่อเลมอนต์สามมิติที่ได้สร้างขึ้นมา โดยอุปกรณ์ที่นำไปใช้อุปกรณ์วัดการสั่นสะเทือน

(Accelerometers) 12 ตัว 12 ช่องสัญญาณ โมเดลที่ใช้คือ FBA-11 ของบริษัทคิเนมติกซ์ (Kinemetrics)[10] โดยมีช่วงการใช้งาน +/-2g ใช้กระแสไฟตรง Output +/-2.5 Vdc มีความถี่ธรรมชาติ 50 Hz ค่าแಡเมป 0.7 จากรุ่นสมบัติของ Accelerometer ดังกล่าวทำให้สามารถตอบสนองความถี่ในช่วงตั้งแต่ 0 จนถึง 50 Hz อุปกรณ์วัดความเร็วลม (Anemometer) 1 ตัว 3 ช่องสัญญาณ ใช้วัดความเร็วลมระหว่าง 0-30 m/s ตัววัดอุณหภูมิ(Temperature Sensor) 1 ตัว 1 ช่องสัญญาณ โดยมีตำแหน่งการติดตั้งต่างๆดังได้แสดงในรูปที่ 7 ที่ตำแหน่งสัญญาณช่อง 1-12 เป็นตำแหน่งที่ติดตั้งของอุปกรณ์วัดการสั่นสะเทือน ส่วนตำแหน่งการติดตั้งของตัววัดความเร็วลมและอุณหภูมินั้นไม่ได้แสดงในรูปที่ 7 แต่ตำแหน่งติดตั้งนั้นจะอยู่ที่ยอดบนสุดของเสาขึ้งดังแสดงในรูปที่ 8 โดยมีทิศทางต่างกัน 3 ทิศทางเพื่อต้องการจับความเร็วและทิศทางของลมที่พัดผ่าน



รูปที่ 7 แสดงตำแหน่งติดตั้งของอุปกรณ์วัดการสั่นสะเทือน



รูปที่ 8 แสดงรูปร่างของ Anemometer แบบ 3 แกน

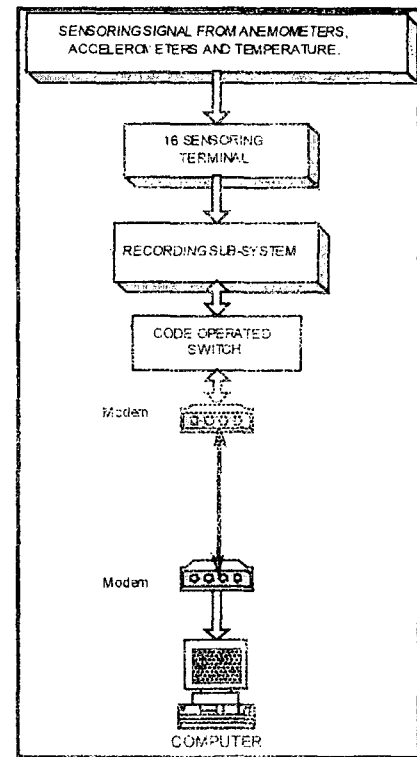
ส่วนตัววัดอุณหภูมิถูกติดตั้งที่บริเวณกึ่งกลางสะพานของช่วงทดสอบตัวกลางสะพาน ซึ่งมีเพียง 1 ตัว 1 ช่องสัญญาณ

อย่างไร้ตามในเอกสารชุดนี้จะคิดวิเคราะห์เพียงผลที่ได้จากการสั่นสะเทือนก่อนเก็บข้อมูล ส่วนผลจากอันอื่นจะเป็นส่วนที่ได้ท่าต่อไป

การทำงานนั้น Sensors ต่างๆ จะรับค่าและจะส่งสัญญาณที่ได้ตรวจสอบมาอย่างชุดเก็บบันทึกข้อมูล (Recording Sub-System) ซึ่งในที่นี้การทางพิเศษได้ใช้ K2 Central Recording System [8] เป็นอุปกรณ์ที่รับสัญญาณアナล็อก (Analog Signal) จาก Sensors และบันทึกเข้าไปในรูปของสัญญาณดิจิตอล (Digital Signal) มีช่องสัญญาณห้องสิ่น 18 ช่องแต่ใช้งานอยู่ 16 ช่อง ซึ่งเมื่อถูกจารูปที่ 9 ก็คือส่วนของ 3 บล็อกแรกนั้นเอง ต่อจากนั้นสัญญาณจะถูกส่งผ่าน Modem เพื่อส่งต่อให้กับ Modem อีกด้วยใช้สายเคเบิลที่มีการชิลต์สายเพื่อป้องกันสัญญาณรบกวนจากภายนอกเพื่อนำสัญญาณเข้าไปบันทึกในเครื่องคอมพิวเตอร์เพื่อแสดงผลทั้งทางหน้าจอและพิมพ์ออกมานั้น พร้อมกับข้อมูลนี้ไว้ในอาร์ดิสก์ โน๊ตบุ๊กที่ใช้งานนี้เป็นการสื่อสารกันระหว่างโน๊ตบุ๊ก 2 ตัว ด้วยสายเคเบิล ทำงานรับ-ส่งสัญญาณแบบ Full-Duplex [9] คือการทำงานแบบทั้งรับและส่งได้พร้อมกัน โดยไม่ต้องผ่านเครือข่ายโทรศัพท์แต่อย่างใด ส่วนชุด Code Operated Switch เป็นอุปกรณ์ที่ทำหน้าที่รับคำสั่งการส่งถ่ายข้อมูลระหว่างต้นทางกับปลายทาง

การบันทึกข้อมูลจะทำการบันทึกลงในเครื่องคอมพิวเตอร์ที่ใช้ในระบบตรวจสอบนี้โดยรับข้อมูลจากโน๊ตบุ๊ก อีกด้วยแสดงในรูปที่ 9 โดยปกติ การทางพิเศษฯได้มีหน่วยงานที่คอยดูแลและบำรุงรักษาสะพาน พร้อมมีการพิมพ์ผลการสั่นสะเทือนออกมาเสมอ

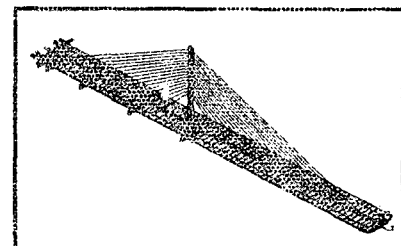
จากที่กล่าวมานี้เป็นการทำงานโดยสังเขปของระบบตรวจจับที่ใช้อยู่ในปัจจุบัน ซึ่งการนำข้อมูลอกมาวิเคราะห์สามารถทำได้โดยการดึงข้อมูลที่เก็บบันทึกในอาร์ดิสก์ของเครื่องคอมพิวเตอร์ที่การทางพิเศษฯ แล้วเราดึงข้อมูลดิบมาแปลงค่าสัญญาณไฟฟ้าเป็นสัญญาณความเร่งคือ  $g$  ( $m/s^2$ ) จากนั้นทำการแปลงไปวิเคราะห์บนแกนความถี่ เพื่อหาค่าความถี่ธรรมชาติของโครงสร้างสะพานจริงได้ ซึ่งจะนำผลนี้ไปใช้ในการปรับเทียบแบบจำลองเพื่อให้ได้ผลที่ใกล้เคียงกันโดยจะได้ก้าวถึงต่อไป



รูปที่ 9 ระบบตรวจจับของสะพานพระรามเก้า

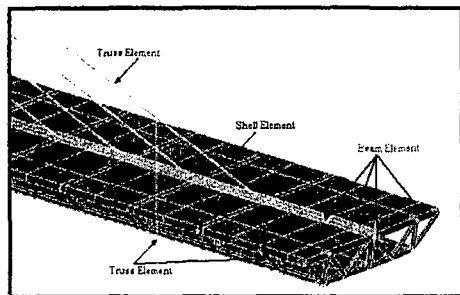
#### 4. แบบจำลองไฟไนท์เอเลเมนต์

แบบจำลองไฟไนท์เอเลเมนต์สามมิติ ดังแสดงในรูปที่ 10 ถูกสร้างขึ้นตามแบบแปลนปัจจุบันของสะพานขึ้นพระรามเก้า เอเลเมนต์ที่ใช้ทั้งหมดในการจำลองโครงสร้างของสะพาน เป็นเอเลเมนต์สามมิติทั้งสิ้น เอเลเมนต์เชลล์ (Shell Element) ที่ใช้เป็นชนิดของเชลล์ 4 โนด เอเลเมนต์กรัสส์ (Truss Element) และเอเลเมนต์คาน (Beam Element) เป็นเอเลเมนต์ 2 โนด ส่วนของแท่นสะพาน (Bridge Deck) จำลองด้วยเอเลเมนต์เชลล์ เอเลเมนต์คาน และเอเลเมนต์กรัสส์ (Truss Element)



รูปที่ 10 แบบจำลองไฟไนท์เอเลเมนต์สามมิติ

โดยสร้างใกล้เคียงกับโครงสร้างของแท่นสะพานจริงดังรูปที่ 11 โครงถักภายในของหน้าตัดแท่นสะพานถูกจำลองด้วยเอเลเมนต์ทรัสส์ มีเอเลเมนต์คานเดินอยู่ตามแนวยาวบริเวณเส้นกึ่งกลาง (Center Line) ของสะพานทั้งด้านบนและด้านล่าง นอกจากยังมีเอเลเมนต์คานเดินตามแนวขวางด้านบนล่างของหน้าตัดแต่ละเกอเดอร์ดังรูป บริเวณผิวด้านบนและล่างของแต่ละเกอเดอร์ของแท่นสะพานถูกจำลองด้วยเอเลเมนต์เชลล์ ส่วนเสาชี้งจำลองด้วยเอเลเมนต์คานจำนวนหลายเอเลเมนต์ตามจำนวนกล่องของโครงสร้างเสาชี้ และแบ่งเอเลเมนต์เพิ่มตรงจุดที่มีการจับยึดของสายเคเบิลสะพาน เคเบิลจำลองด้วยเอเลเมนต์ทรัสส์โดยที่เคเบิลแต่ละเส้นจะจำลองด้วยเอเลเมนต์เดียว



รูปที่ 11 ลักษณะแบบจำลองของแท่นสะพาน(Bridge Deck)

ทั้งหมดมีจำนวน 1511 เอเลเมนต์ และ 740 โนด ใช้หลักการสมมาตร (Symmetry) สร้างแบบจำลองเพียงครึ่งสะพาน ระยะของความยาวของแบบจำลองที่สร้างนี้เมื่อเปรียบเทียบกับระยะความยาวของสะพานจริงครึ่งสะพานคือ 390.6 เมตร โดยไม่ได้จำลองในส่วนของเชิงลาดสะพานเข้าไปด้วยเนื่องจากว่าที่เราสนใจในการวิเคราะห์คือที่ของช่วงกลางสะพาน ตำแหน่งของจุดรองรับอันเนื่องมาจากการบรรรัง (Bearing) ของตอม่อที่รองรับด้วยสะพานบังคับให้มีการเคลื่อนตัวได้เฉพาะในแนวยาวเท่านั้นคือแกน X ทำให้การสร้างจุดยึดในแบบจำลองต้องให้สอดคล้องกับโครงสร้างจริงจึงปล่อยเคลื่อนตัวได้เฉพาะในแนวตามยาวของสะพานเท่านั้น บริเวณจุดกึ่งกลางของสะพานเราจะบังคับให้ไม่มีการเคลื่อนตัวได้ในแนวแกน X ส่วนตรงท้ายสะพานซึ่งเป็นบริเวณที่ต่อ กับถนนของช่วงเชิงลาดสะพานถูกยึดเอาไว้ไม่ให้มีการเคลื่อนตัวได้ในทุกของศักยิตระ ในระบบของโครงสร้างขนาดใหญ่ อาทิเช่นโครงสร้างของสะพานชี้ที่เรากำลังพิจารณาอยู่นี้ การหาสมการทางคณิตศาสตร์และการคำนวณผลเป็นเรื่อง

ที่ทำได้ยาก แต่ด้วยเทคโนโลยีของเครื่องคอมพิวเตอร์และโปรแกรมที่ใช้ในปัจจุบันทำให้เราสามารถประยุกต์เวลาลงไปได้มาก โดยหลักการทางพลศาสตร์ที่ใช้ในการวิเคราะห์นั้น [10] เราสามารถใช้ความสัมพันธ์ของสมการดังนี้

$$[M]\{\ddot{D}\} + [C]\{\dot{D}\} + [K]\{D\} = \{R^{ext}\} \quad (1)$$

เมื่อ  $[M]$  แทนแมทริกซ์มวลของโครงสร้างทั้งหมด

$[C]$  แทนแมต死去梅ทริกซ์

$[K]$  แทนค่าสทิฟเฟนสมทริกซ์

$\{D\}$  แทนดิสเพลสเมนต์เวคเตอร์

เมื่อโครงสร้างที่พิจารณาเราต้องการหาค่าความถี่ธรรมชาติและไม่คิดผลเนื่องจากแฉดแบบปั๊วของโครงสร้าง แรงกระทำจากภายนอกเป็นศูนย์ (เทอมขวามือของสมการที่ 1) มีการเคลื่อนที่แบบบาร์โมนิกจะได้ความสัมพันธ์ว่า

$$\{D\} = \{\bar{D}\} \sin \omega t \text{ และ } \{\ddot{D}\} = -\omega^2 \{\bar{D}\} \sin \omega t \quad (2)$$

แทนสมการดังกล่าวเข้าไปในสมการที่ (1) จะได้ว่า

$$([K] - \lambda[M])\{\bar{D}\} = \{0\} \quad (3)$$

เมื่อ  $\lambda = \omega^2$

$\{\bar{D}\}$  แทนเวคเตอร์ของหนดการสั่นสะเทือนที่สอดคล้องกับแต่ละค่าของความถี่ธรรมชาติ

$\omega$  ค่าความถี่ธรรมชาติ

ดังนั้นค่าความถี่ธรรมชาติสามารถหาได้จากสมการ

$$\det([K] - \lambda[M]) = 0 \quad (4)$$

จากนั้นนำค่าความถี่ธรรมชาติที่คำนวณออกมายังได้แต่ละค่าแทนกลับเข้าไปในในสมการที่ (3) เพื่อหารูปร่างการสั่นสะเทือนได้

หลักการดังกล่าวเป็นการหาพฤติกรรมทางพลศาสตร์ของโครงสร้างทั่วไปแต่ในความเป็นจริงแล้วการคำนวณค่าเมทริกซ์มวลรวมและสทิฟเฟนสมทริกซ์รวมของโครงสร้างขนาดใหญ่และซับซ้อนที่มีชนิดของเอเลเมนต์หลายชนิดประกอบเข้าด้วยกันนั้นสามารถทำได้ยาก ดังนั้นการสร้างแบบจำลองด้วยโปรแกรมคอมพิวเตอร์เพื่อให้คำนวณหาค่า

ต่างๆ เหล่านี้โดยใช้หลักการเชิงตัวเลขจึงเป็นวิธีที่ทำได้ง่ายกว่า

ส่วนผลของการคำนวณด้วยโปรแกรมคอมพิวเตอร์เพื่อให้ได้มาซึ่งรูปร่างการสั่นสะเทือนของสะพานขึ้นพระรามเก้าได้แสดงเอาไว้ในรูปที่ 12 โดยเราได้แสดงรูปร่าง荷模ต่างๆ เอาไว้เพียง 10 荷模แรก แต่ผลในการคำนวณของเรามาได้คำนวณออกมากทั้งสิ้น 20 荷模ทั้งนี้เพื่อให้ได้ค่าความถี่ธรรมชาติครอบคลุมถึงค่าความถี่ที่ได้มาจากการทดลอง เพื่อที่เราจะใช้เปรียบเทียบความแม่นยำของแบบจำลองได้

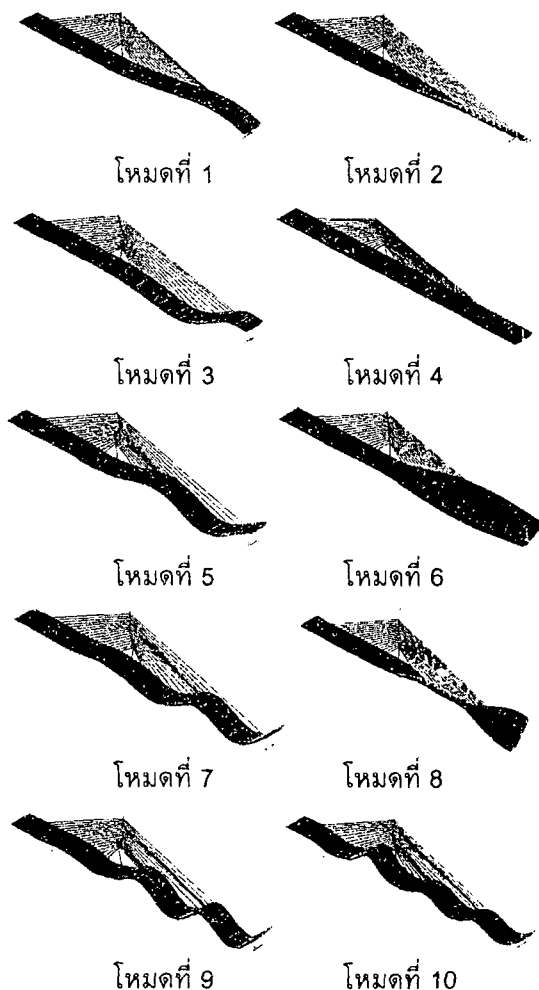
จากผลการคำนวณค่าความถี่ธรรมชาติของแบบจำลองได้สรุปเอาไว้ดังในตารางที่ 2 ในหัวข้อใหญ่ที่ 6 โดยค่าของแบบจำลองที่แสดงนั้นมีอยู่ 20 荷模แรกและมีการเปรียบคากับผลที่ได้ออกมาจากการทดลองด้วย

หลังจากที่มีการเปรียบเทียบผลทางคุณสมบัติพลศาสตร์ระหว่างแบบจำลองไฟไนท์เอลเมนต์กับการทดลองแล้ว เราได้มีการจำลองใส่ภาระของรถยนต์และแรงลมที่เป็นลักษณะของแรงสถิตเข้าไปยังแบบจำลองเพื่อต้องการดูพฤติกรรมของโครงสร้างสะพานว่ามีความสอดคล้องกันอย่างไรและมีระยะการยืดหรือโก่งตัวอย่างไรบ้างเป็นต้น การจำลองใส่ภาระเข้าไปนั้นเราใช้รถบรรทุกจำนวน 74 คัน คันละ 37400 กิโลกรัม และรถยนต์ 113 คัน มูลคันละ 2720 กิโลกรัม พร้อมกับแรงลมขนาดความเร็ว 97.72 กิโลเมตร/ชั่วโมง

โดยการใส่นั้น จะให้บริเวณ เลนด้านนอก 2 เลนของแบบจำลองรับภาระจากรถยนต์บรรทุก ส่วนเลนด้านใน 2 ด้านรับภาระจากรถยนต์ การทดสอบแบ่งออกเป็น 4 กรณีดังนี้คือ

1. ภาระการจราจรพุ่งลงตามทิศทาง แกน Y และมีแรงลม吹วนลุนลงตามในทิศทางเดียวกันกระจายทั่วตลอดตัวสะพาน
2. ภาระการจราจรพุ่งลงตามทิศทาง แกน Y และมีแรงลมด้านขึ้นสวนทางในแกนเดียวกันเดียวกันกระจายทั่วตลอดตัวสะพาน
3. ภาระการจราจรพุ่งลงตามทิศทาง แกน Y และมีแรงลมกระทำกับตัวสะพานและเสาขึ้นในทิศทาง +Z
4. ภาระการจราจรพุ่งลงตามทิศทาง แกน Y และมีแรงลม กระทำกับตัวสะพานและเสาขึ้นในทิศทาง -Z ส่วนในรูปที่ 13 ได้แสดงให้เห็นภาพของแบบจำลองที่มีการใส่ภาระต่างกันโดยในภาพเป็นภาระจากการจราจรและ

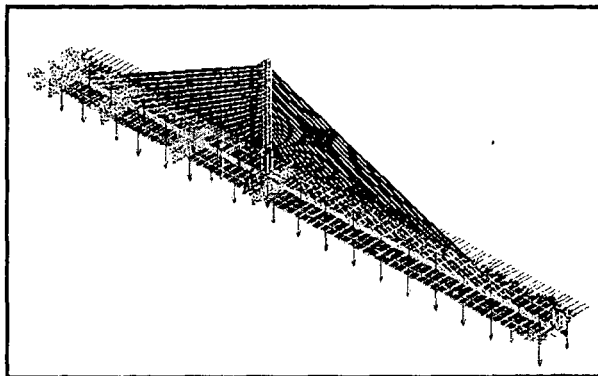
แรงลมกระทำในแกน +Z เมื่อแกน X คือแกนตามความยาวของตัวสะพาน



รูปที่ 12 รูปร่างการสั่นสะเทือน 10 荷模แรกของแบบจำลอง

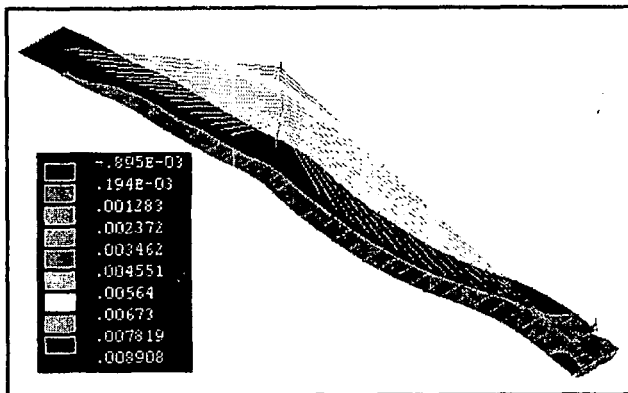
จากนั้นจึงทำการคำนวณหาค่าสถิตศาสตร์ของโครงสร้างที่มีภาระต่างๆ กันนี้กระทำ โดยการคำนวณได้กระทำด้วยกันทั้งหมด 4 ครั้ง แต่ละครั้งจะทำการคำนวณเป็นแต่ละกรณีไป

ส่วนระยะการดัดหรือการโก่งตัวของ การทดลองภาระสถิตได้สรุปเอาไว้ตามตารางที่ 1 พบว่าการที่เราใส่ภาระลงในทิศทางที่เสริมแรงจากรถยนต์จะทำให้โครงสร้างมีการโก่งตัวเพิ่มมากขึ้น ในขณะที่ใส่แรงลมด้านแรงกระทำจากรถยนต์ ก็ทำให้ระยะโก่งตัวลดลง เช่นกัน ถ้ากรณีที่เปลี่ยนทิศทางของลมมากระทำทางด้านข้างของสะพาน ทั้งตัวสะพานและเสาขึ้นต่างกันแสดงให้เห็นการโก่งในแนวแกน Z "ได้เช่นกัน



รูปที่ 13 แสดงตัวอย่างแบบจำลองที่มีการใส่ภาระต่างๆ

โดยผลจากการหาค่าความถี่ธรรมชาติและระยะหักจากแรงสัติดเป็นการทดลองเพื่อทดสอบความน่าเชื่อถือของแบบจำลองนั้นเอง ในรูปที่ 14 เป็นการแสดงระยการゴ่งตัวตามแกน Z ของแบบจำลองที่มีภาระจากการจราจรกระจายอยู่โดยทั่วบริเวณของแท่นสะพานและแรงลมกระทำกับเสาซึ่งและด้านข้างของตัวสะพาน ซึ่งจะเห็นได้ว่ามีการดัดหรือゴ่งไม่เฉพาะแต่ตัวสะพานเท่านั้น หากแต่รวมถึงเสาและเคเบิลด้วย



รูปที่ 14 การゴ่งตัวตามแกน Z จากภาระถอยน์และลมตามรูปที่ 13

ตารางที่ 1 ระยะゴ่งตัวของสะพานเนื่องจากภาระการจราจรและลม

ตัวแปรทางกายภาพธรรมชาติ	ตัวแปรภาระเริ่มต้น	ระยะหักสูงสุดในแนวราบ (เมตร)	ระยะหักสูงสุดในแนวตั้ง (เมตร)
ตัว + Y	ตัว + Y	-0.749859	0.00
ตัว - Y	ตัว + Y	-0.737181	0.00
ตัว - Y	ตัว + Z	-0.74201	0.001283
ตัว - Y	ตัว - Z	-0.74201	-0.001292

ส่วนงานต่อไปในอนาคตจะได้มีการนำแบบจำลองใส่ค่าภาระทางพลศาสตร์ที่สอดคล้องกับภาระที่เผชิญอยู่ในปัจจุบันของสะพานขึ้นพระรามเก้า และทดสอบการลดการสั่นสะเทือนหรือการเพิ่มเติมปีกเอลเเมร์ตของโครงสร้างว่าควรเป็นเท่าไรที่จะให้ผลการตอบสนองอยู่ในระดับที่น่าพอใจได้ นอกจากนี้การนำแบบจำลองนี้เพื่อวิเคราะห์ค่าความเด่นของโครงสร้างก็ยังเป็นสิ่งที่เป็นประโยชน์ต่อการประเมินอายุการใช้งานของโครงสร้างได้อีกด้วย

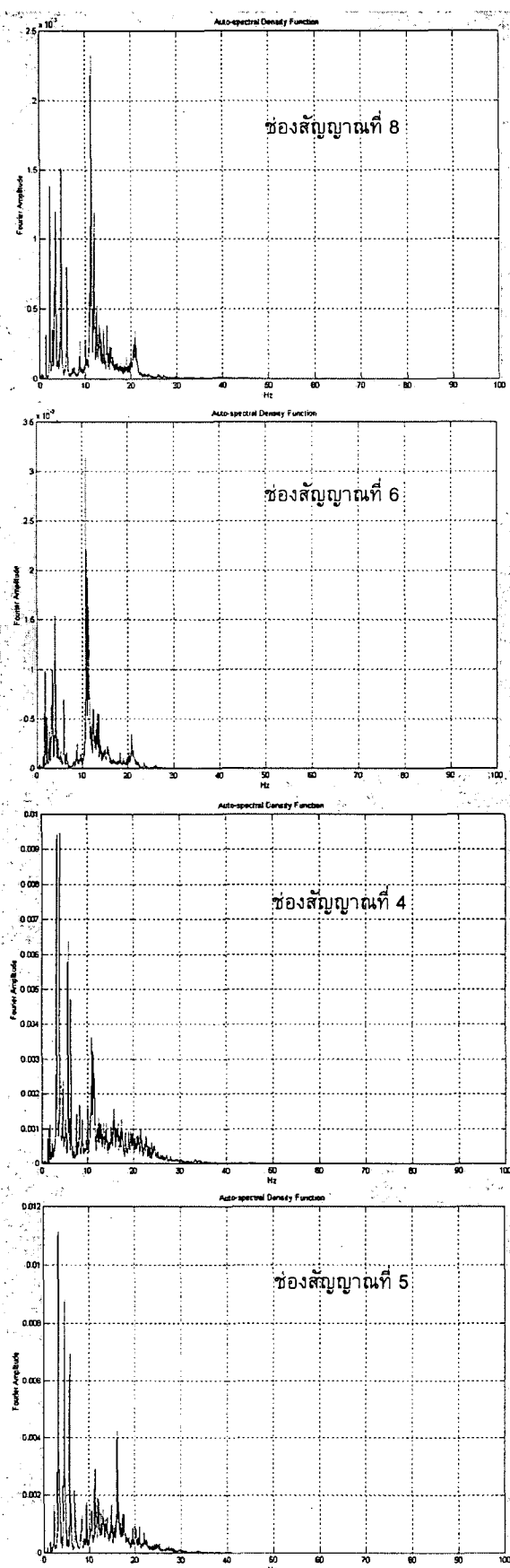
### 5. ผลการทดลองวัดการสั่นสะเทือนของสะพาน

การสั่นสะเทือนของสะพานที่เกิดขึ้นนี้เป็นชนิดของการสั่นสะเทือนแบบสุ่ม (Random Vibration) แรงกระทำหลักๆ ของการสั่นสะเทือนนี้มาจากการถอยน์ต่างๆ ที่แผ่นผ่านสะพานและยังมีบางส่วนมาจากแรงลมด้วย ในบางประเทศที่มีการเกิดแผ่นดินไหวก็อาจจะมีผลจากแผ่นดินไหวรวมเข้าไปด้วย เช่นเดียวกัน

จากค่าการสั่นสะเทือนบนแกนเวลาที่ได้มาเราสามารถมาคำนวณหาค่าอัตโนมัติสเปคลัลเดนซิตี้ (Autospectral Density) ของแต่ละช่องสัญญาณ [11] ดังได้แสดงให้เห็นในรูปที่ 15 ที่ตัวແහນ່ງສູງສຸດແຕ່ລະຈຸດ(Peak) เป็นการบ่งชี้ถึงค่าความถี่ธรรมชาติในแต่ละໂທມດของการสั่นสะเทือนของสะพานจริง โดยแต่ละຈຸດก็จะมีขนาดของการสั่นที่แตกต่างกันไป แต่ที่สังเกตได้ກ็คือ การสั่นที่ໂທມດแรกๆ จะมีขนาดการสั่นที่ต่ำมากกว่าໂທມດหลังๆ ซึ่งความถี่ที่พบนั้นไม่เกินระหว่าง 0-40 Hz โดยค่าໂທມດแรกอยู่ที่ 0.3153 Hz ที่สำคัญเราจะเห็นความคล้ายคลึงกันของการสั่นระหว่างช่องสัญญาณที่ 8 กับ 6 และ 4 กับ 5 เนื่องจากคิดตั้งอยู่ในแนวเดียวกันนั่นเอง

ส่วนค่าสรุปที่ได้ระหว่างแบบจำลองกับผลการทดลองนั้นได้แสดงเอาไว้ดังตารางที่ 2 ในหัวข้อลำดับถัดไป

สำหรับขั้นตอนการประมวลผลจากข้อมูลดิบที่ได้มีลำดับดังนี้คือ จับค่าการสั่นสะเทือนนี้ข้อมูลการสั่นสะเทือนที่นำมาวิเคราะห์อยู่ในช่วงเวลาป่ายส่องโ不明 ของวันที่ 28 มีนาคม 2543 ช่วงเวลาที่บันทึกข้อมูลคือ 528 วินาที หรือเท่ากับ 8.8 นาที มีอัตราการแซมบล็อกสัญญาณเท่ากับ 200 Hz วัดออกมานเป็นค่าในแกนเวลา (Time Domain) การทดสอบจะลองจับค่าของ accelerometer ที่วัดการสั่นสะเทือนในแนวตั้ง คือที่ตัวແහນ່ງช่องสัญญาณที่ 4 5 6 และ 8



รูปที่ 15 แสดงกราฟผลการคำนวณค่าการสั่นสะเทือนในแนวตั้งบนแกนความถี่จาก Accelerometer

ค่าที่ accelerometer วัดออกมายังมีหน่วยเป็นโกล์ท ดังนั้นจึงต้องมีการแปลงให้กลายเป็นหน่วยความเร่งคือ  $g$  ( $m/s^2$ ) เสียก่อน ก่อนที่เราจะได้วิเคราะห์ต่อไป จากคุณสมบัติของ Accelerometer ที่ใช้คือ มี Output ที่  $+/-2g$  และ Output  $+/-2.5$  Vdc ดังนั้นเราเขียนได้จากความสัมพันธ์ของอุปกรณ์การวัดที่ใช้คือ

$$(ขนาดของสัญญาณที่หน่วยเป็นโกล์ท) * 0.8 = g \quad (5)$$

โดยทำการคูณค่าดังกล่าวกับทุกชุดข้อมูลที่ได้มาจากการวัด 4 ช่องสัญญาณ

จากความสัมพันธ์ของการแซมปлинส์สัญญาณเพื่อหลีกเลี่ยงการเกิดการผิดเพี้ยนของสัญญาณเราเขียนได้ว่า

$$\text{อัตราแซมปлинส์ของสัญญาณ(Hz)} \quad F_s = 1/T \quad (6)$$

$$\text{ความแซมปлинส์ของสัญญาณ(Sec.)} \quad T \leq 1/2f \quad (7)$$

$$\text{ความถี่ไนคิวส์(Nyquist Frequency)} \quad F_s / 2 \geq f \quad (8)$$

ดังนั้นจากการที่เราเก็บข้อมูลมาได้ทั้งสิ้น 528 วินาที จากสมการที่ 6 เราจะได้อัตราการแซมปлинส์เป็น  $1/200$  คือ  $0.005$  วินาที ดังนั้นจะได้จำนวนของชุดข้อมูลที่เก็บมา  $528/0.005$  เป็น  $105600$  ชุดข้อมูลต่อหนึ่งช่องสัญญาณของอุปกรณ์การสั่นสะเทือน (Accelerometer) โดยสอดคล้องกับสมการที่ 7 และ 8 จะพบว่าyanความถี่ตอบสนองสูงสุดที่แกนของความถี่(Frequency Domain) เป็น  $100$  Hz

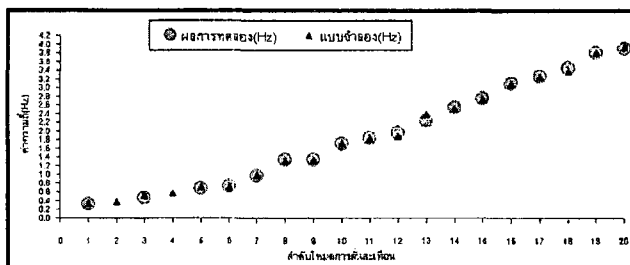
## 6. การเปรียบเทียบผลของแบบจำลองและการทดลอง

ผลการทดลองที่ได้จากแบบจำลองไฟโนท์เอเลเมนต์ได้คำนวณออกมายังสิ้น 20 ໂหมດ ในช่วงความถี่ระหว่าง  $0.33182$  ถึง  $3.9308$  Hz เพื่อเทียบเคียงกับผลของการทดลองที่ได้มา 18 ໂหมດ มีค่าเท่ากับ  $0.3158$  ถึง  $3.9013$  Hz อย่างไรก็ตามผลที่พบจากการทดลองมีช่วงระหว่าง 0 ถึง 40 Hz เราอ่านค่าเพียงที่ໂหมดแรกๆ ในช่วง 20 ໂหมດแรกของแบบจำลองเท่านั้น เพื่อให้สอดคล้องกับจำนวนໂหมดที่ได้จากแบบจำลอง และจากการคำนวณค่าที่พบในแต่ละยอด เราจะได้ค่าความถี่ธรรมชาติของโครงสร้างสะพานที่พับดังตารางที่ 2 ต่อไปนี้

ตารางที่ 2 แสดงผลจากการทดลองและแบบจำลองสะพาน

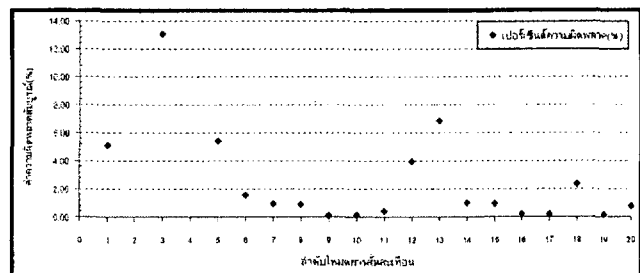
周波数(Hz)	แบบจำลอง(Hz)	เบอร์เซ็นต์ความผิดพลาด(%)
0.31578	0.33182	5.08115
	0.39057	
0.46695	0.52784	13.03994
	0.58042	
0.68175	0.71855	5.39787
0.73690	0.72565	1.52667
0.97630	0.98545	0.93721
1.33395	1.3219	0.90333
1.34770	1.3466	0.08162
1.71620	1.7137	0.14567
1.83640	1.8436	0.39207
1.96250	1.8852	3.93885
2.24225	2.3955	6.83465
2.53127	2.5061	0.99423
2.75063	2.724	0.96796
3.10003	3.1055	0.17634
3.26293	3.2556	0.22449
3.45405	3.3722	2.36968
3.80413	3.8105	0.16736
3.90130	3.9308	0.75616

จากค่าในตารางที่ 2 เราเห็นว่ามีความคลาดเคลื่อนกันไม่มากนักระหว่างผลทั้งสอง โดยเราจะเห็นได้ชัดเจนขึ้นเมื่อนำค่าในตารางดังกล่าวมาพล็อตเพื่อให้เห็นแนวโน้มของผลที่ได้ดังแสดงในรูปที่ 16



รูปที่ 16 แสดงความใกล้เคียงของผลจากแบบจำลองไฟไนท์เอเลเมนต์เทียบกับการทดลอง

เช่นเดียวกันกับค่าเบอร์เซ็นต์ความผิดพลาดสัมบูรณ์ระหว่างข้อมูลทั้งสองเมื่อนำมาพล็อตกราฟดังรูปที่ 17 เราจะเห็นว่าค่าเบอร์เซ็นต์ความผิดพลาดจากความถี่ธรรมชาติของทั้งสองอย่างมีแนวโน้มจะที่ลดลงเมื่อผ่านหมวดการสั่นสะเทือนที่สูงขึ้น พร้อมกับมีช่วงการแก่วงตัวลดลงด้วย



รูปที่ 17 ค่าเบอร์เซ็นต์ความผิดพลาดสัมบูรณ์ระหว่างแบบจำลองเทียบกับผลการทดลอง

## 7. สรุป

จากแบบจำลองสามมิติที่ได้สร้างขึ้นมาันสามารถหาความถี่ธรรมชาติที่สอดคล้องกับตำแหน่งการติดตั้งรวมถึงอุปกรณ์วัดการสั่นสะเทือน (Accelerometer) ของระบบตรวจสอบ (Monitoring System) ของสะพานพระรามเก้าซึ่งผลปรากฏว่าค่าความถี่ธรรมชาติของแบบจำลองไฟไนท์เอลเเมนต์ที่ได้ออกมานั้นมีความใกล้เคียงกับความถี่ธรรมชาติที่ได้จากอุปกรณ์วัดการสั่นสะเทือน โดยผลจากการทดลองนั้นเป็นค่าความสั่นสะเทือนในแนวตั้งของสะพานแล้วนำมาเทียบเคียงกับหมวดการสั่นสะเทือนของแบบจำลองในแนวตั้งเช่นกัน

เราได้มีการคำนวณผลของความถี่ธรรมชาติและหมวดการสั่นสะเทือนของแบบจำลองของมาทั้งสิ้น 20 โหมด โดยในหมวดที่ 2, 6, 8, 14, 17 และ 19 แสดงถึงการบิดตัว (Torsion Mode) (แต่ในรายงานฉบับนี้นำมาแสดงเพียง 10 โหมดแรกเท่านั้น) ของโครงสร้างสะพานส่วนโหมดที่เหลืออันจะแสดงถึงการตัดตัว (Bending Mode) และเห็นว่ามีอยู่บางโหมดที่มีการเกิดหักการตัดของตัวสะพาน เสา และเคเบิลไปพร้อมๆ กันค่าความถี่ธรรมชาติที่ได้จะมีค่าเพิ่มมากขึ้นเรื่อยๆ ในแต่ละโหมด ซึ่งสัมพันธ์กับค่าที่ได้จากการทดลองที่ซึ่งความถี่แต่ละค่าที่ได้นั้นคือค่าที่น่าจะทำให้โครงสร้างเกิดพฤติกรรมการสั่นสะเทือนเหมือนเขียนแบบจำลอง ส่วนเบอร์เซ็นต์ความคลาดเคลื่อนที่เปรียบเทียบกันระหว่างผลจากการทดลองและแบบจำลองสะพาน มีค่าต่ำสุดคือ 0.08162% และสูงสุดคือ 13% ซึ่งชี้ให้เห็นว่าแบบจำลองด้วยวิธีไฟไนท์เอลเเมนต์นั้นสามารถที่จะนำมาประยุกต์ใช้กับกระบวนการทางพลศาสตร์ของโครงสร้างสะพานได้ใกล้เคียงกับค่าการสั่นสะเทือนจริงของโครงสร้างได้ แต่แนวโน้มที่พบ

คือความถี่ที่ใหม่ด้วยการสั่นสะเทือนที่สูงขึ้นเมื่อค่าความผิดพลาดลดลง

หลังจากการทดสอบพฤติกรรมทางพลศาสตร์ของแบบจำลองดังกล่าวแล้วเป็นการยืนยันได้ในระดับหนึ่งว่าแบบจำลองสามารถมีความแม่นยำเพียงพอ จากนั้นจึงทำการใช้แบบจำลองนี้มาทดสอบใส่ภาระซึ่งประกอบด้วยรถยกน้ำหนัก 113 คัน มวลคันละ 2720 กิโลกรัม และรถบรรทุก 74 คัน มวลคันละ 37400 กิโลกรัม พร้อมกับมีแรงลมที่ความเร็ว 97.72 km/hr เพื่อดูผลกระทบของโครงสร้างจากการสกัดทั้งการโถ่หรือดัดในแต่ละแนวแกนดังได้แสดงในตารางข้างล่างนี้ ในทศที่ภาระจากการยกน้ำหนักและลมกระทำในแนวเดียวกันจะเห็นว่ามีค่า

ระยะการโถ่ในแนวแกน Y มากที่สุดกว่าค่าอื่น โดยที่ไม่มีภาระได้กระทำในแนวแกน Z ซึ่งก็ไม่ทำให้เกิดระยะโถ่ในแกน Z แต่เมื่อทดลองเปลี่ยนทิศแรงลมเป็นทิศ +Y ก็จะกลับกลายเป็นลดระยะโถ่ในแกน Y ให้น้อยลงมาได้ เมื่อทดลองเปลี่ยนทิศทางลมเป็นในแนวแกนบวกหรือลบ Z แบบจำลองนี้ก็แสดงให้เห็นถึงผลที่เกิดการโถ่ในแนวแกน Z ทั้งทิศทางบวกและลบซึ่งกัน และทิศทางการโถ่ในแนวแกน Y ก็จะเป็นผลลัพธ์เนื่องมาจากถูกน้ำหนักต่อต้านซึ่งก็คือ 0.74201 m.

จากผลที่ได้ออกมานั้นชี้ให้เห็นว่าพฤติกรรมของแบบจำลองทั้งทางพลศาสตร์และสถิติศาสตร์มีค่าด่างๆที่น่าจะเป็นไปได้ แต่ค่าที่ได้ก็ยังคงมีเบอร์เซ็นต์ความผิดพลาดอยู่บ้างซึ่งทั้งนี้ก็อาจจะมาจากอุปกรณ์วัดการสั่นสะเทือนควรต้องมีการปรับเทียบ (Calibration) และอาจมาจากการสมมุติฐานที่ใช้ในการสร้างแบบจำลองของเราเอง ได้แก่

1. เราสมมุติว่าวัสดุที่ใช้ทำแบบจำลองไม่มีสำาหรับและเป็นเนื้อเดียวกันตลอด

2. ขนาดของऐร์เม้นต์ที่ใช้ในการสร้างแบบจำลองนั้นมีค่าที่ใกล้เคียงกับโครงสร้างจริง

ดังนั้นจึงทำให้ผลที่ออกมานั้นมีข้อผิดพลาดอยู่แต่ก็สามารถที่จะยอมรับได้ในการนำไปใช้งานหรือวิจัยต่อไปในอนาคต

#### กิตติกรรมประกาศ

ศูนย์ปฏิบัติการพัฒนาหุ่นยนต์ภาคสนาม(ฟีโน่) มหาวิทยาลัยเทคโนโลยีพระจอมเกล้าธนบุรี ได้รับความร่วมมือและความสนับสนุนจากทางด้านข้อมูลต่างๆในการทำงานวิจัย

ครั้งนี้จากศูนย์ซ่อมบำรุงสาขาระดับประเทศ(The Expressway and Rapid Transit Authority of Thailand) คณะผู้วิจัยจึงขอขอบพระคุณมา ณ ที่นี่ด้วย

#### เอกสารอ้างอิง

- [1] John C. Wilson and Tao Liu, 'Ambient Vibration Measurements on a Cable-Stayed Bridge', Journal of Earthquake Engineering and Structural Dynamics, Vol. 20, 723-747(1991)
- [2] John C. Wilson and Wayne Gravelle, 'Modelling of a Cable-Stayed Bridge for Dynamic Analysis', Journal of Earthquake Engineering and Structural Dynamics, Vol. 20, 707-721(1991)
- [3] Ahmed M. Abdel-Ghaffar and Robert H. Scanlan, Members, ASCE 'Ambient Vibration Studies of Golden Gate Bridge: I. Suspended Structure, Journal of Engineering Mechanics, Vol. 111, No. 4, April, 463-482(1985)
- [4] Ahmed M. Abdel-Ghaffar and Robert H. Scanlan, Members, ASCE 'Ambient Vibration Studies of Golden Gate Bridge: II. Pier-Tower Structure, Journal of Engineering Mechanics, Vol. 111, No. 4, April, 483-499(1985)
- [5] Benjamin Indrawan, 'Vibration of a Cable-Stayed Bridge Due to Vehicle Moving Over Rough Surface', Master of Engineering Thesis, Asian Institute of Technology, Bangkok, Thailand, 1989
- [6] C. Gentile and F. Martinez Y Cabrera, 'Dynamic Investigation of a Repaired Cable-Stayed Bridge', Journal of Earthquake Engineering and Structural Dynamics, Vol. 26, 41-59(1997)
- [7] Mitsuo Hara, "Manual for Inspection of The RAMA IX Bridge", Kingdom of Thailand, Ministry of Interior, Expressway and Rapid Transit Authority of Thailand, March 1990
- [8] Operating Instructions for K2 Central Recording System, Kinemetrics, Inc, Pasadena, Calif. 91107, USA, 1995

- [9] Black Box Corporation, LDM-MR 19.2, P.O. BOX  
12800, Pittsburgh, PA 15241
- [10] Robert D. Cook, David S. Malkus and Michael E.  
Plesha, 'Concepts and Applications of Finite  
Element Analysis', University of Wisconsin –  
Madison, John Wiley & Sons, United States of  
America, 3<sup>rd</sup> edition, 1989
- [11] D.E. Newland, 'Random vibrations, spectral and  
wavelet analysis', Addison Wesley Longman  
Limited, Singapore, 3<sup>rd</sup> edition, 1993